

## Diaza- $\lambda^5$ , $\lambda^5$ -diphospha-dispiro-[5.1.5.1]-tetradecahexaene Cyclodiphosphazane mit spiroanellierten $\lambda^5$ , $\lambda^5$ -Phosphininen

G. Märkl\*, H. Sommer

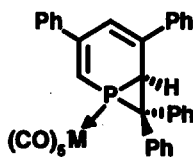
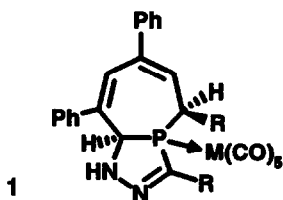
Institut für Organische Chemie der Universität, Universitätsstr. 31, D-8400 Regensburg

H. Nöth

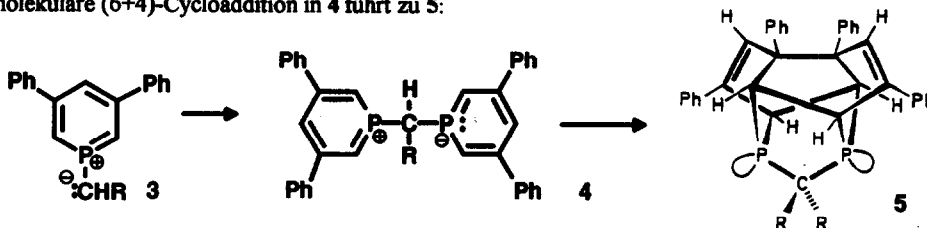
Institut für Anorganische Chemie der Universität, Meiserstr. 1, D-8000 München 2

Summary: Mono-, di- and trisubstituted  $\lambda^3$ -phosphinines react with aryl(alkyl)azides to give the title compounds.

$\lambda^3$ -Phosphinine reagieren mit Diazoalkanen in sehr unterschiedlicher Weise. Die  $M(\text{CO})_5$ -Komplexe von 3,5-Diphenyl- $\lambda^3$ -phosphinin bilden mit  $\text{RCHN}_2$  über intermediäre Phosphanorcaradien/Phosphatropyriden (2H-Phosphepin)-Valenztautomere die Bicyclen 1<sup>1)</sup>, mit Diphenyldiazomethan die Phosphanorcaradiene 2.



3,5-Diphenyl- $\lambda^3$ -phosphinin selbst reagiert mit  $\text{RCHN}_2$  ( $\text{R}=\text{H}$ , Alkyl, Aryl) unter sehr milden Bedingungen ( $0^\circ\text{C}$ ,  $\text{CH}_2\text{Cl}_2$ ) in einer ungewöhnlichen Dominoreaktion zu den Diphosphachiropteradienen 5<sup>2,3)</sup>. Der primär gebildete Dipol 3 addiert sich nucleophil an ein zweites Mol  $\lambda^3$ -Phosphinin zu 4, die anschließende intramolekulare (6+4)-Cycloaddition in 4 führt zu 5:



2,4,6-Triaryl- $\lambda^3$ -phosphinine reagieren nicht mit  $\text{RCHN}_2$ . Mit  $\text{Ph}_2\text{CN}_2$  unter energischen Reaktionsbedingungen entstehen über die Phosphanorcaradiene hinaus definierte, ungewöhnliche Folgeprodukte<sup>4)</sup>.

Über Umsetzungen von  $\lambda^3$ -Phosphininen mit Aziden wurde bislang nicht berichtet. Wir können zeigen, daß alle von uns untersuchten mono-, di- und trisubstituierten  $\lambda^3$ -Phosphinine 6 sowohl mit Aryl- wie mit Alkylaziden in siedendem Toluol glatt in 50-70proz. Ausbeuten zu gelben, kristallinen Produkten 8 abreagieren, bei denen es sich nach dem Ergebnis der Röntgenstrukturanalyse (8c, Abb. 1)<sup>5)</sup> um die Diazaphosphetidine (Cyclodiphosphazane) mit spiroanellierten  $\lambda^5$ -Phosphininringen mit  $\lambda^5\sigma^4$ -Phosphor handelt.

Der als Zwischenstufe zu postulierende NPC-Dipol 7 ist also im Gegensatz zum CPC-Dipol 3 nicht hinreichend nucleophil, um mit einem zweiten Mol  $\lambda^3$ -Phosphinin zu den zu 5 entsprechenden Azadiphosphachiropteradienen weiterreagieren zu können:

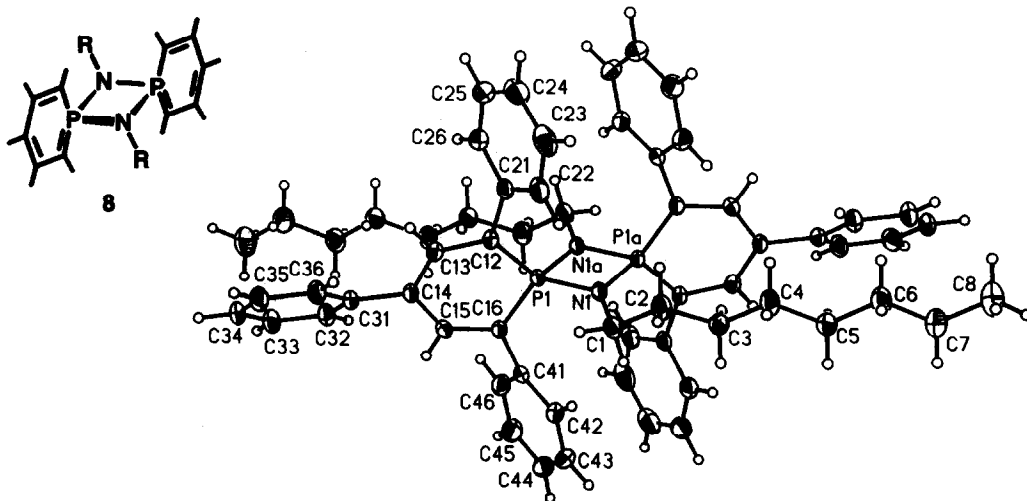
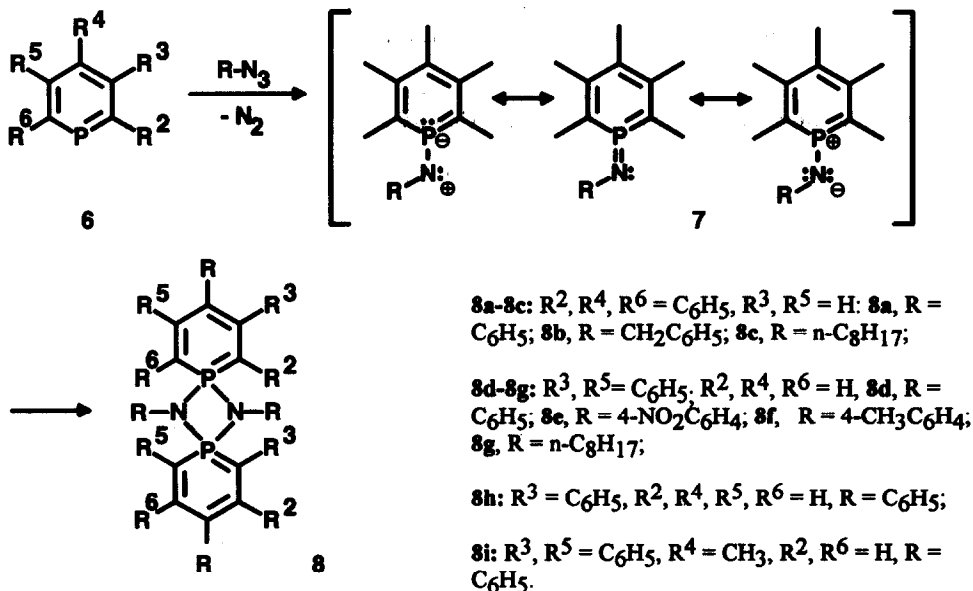


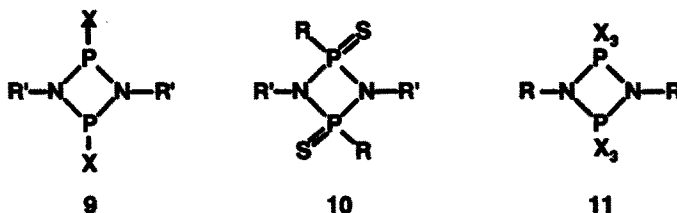
Abb. 1: Röntgenstrukturanalyse von 8c.

Ausgewählte Bindungsabstände (Å) und Bindungswinkel ( $^\circ$ ), Standardabweichungen in Klammern.

P1-N1: 1.692(2); P1-N1a: 1.706(2); P1a-N1: 1.706(2); P1-P1a: 2.579(1); P1-C12: 1.731(3); P1-C16: 1.743(3); N1-P1-N1a: 81.3(1); P1-N1-P1a: 98.7(1); C12-P1-C16: 104.2(1); C16-P1-N1: 118.5(1); C16-P1-P1a: 128.3(1); C12-P1-N1: 117.9(1); C12-P1-P1a: 127.5(1).

In **8c** sind die PN-Abstände eindeutig voneinander verschieden (1.692(2); 1.706(2) Å), in den Diazaphosphetiden **9** mit  $\lambda^3\sigma^3$ -Phosphor sind die PN-Abstände im 4-Ring gleich (X = Cl, R = t-Bu <sup>6</sup>); X = N(SiMe<sub>3</sub>)<sub>2</sub>, R = SiMe<sub>3</sub> <sup>7</sup>).

Das gleiche gilt auch für die von **9** sich ableitenden Phosphinsulfide (Dithio-cyclodiphosphazane) **10** (R = R' = Ph <sup>8</sup>); R = Ph, R' = Me <sup>9</sup>); R = Cl, R' = Ph <sup>10</sup>).



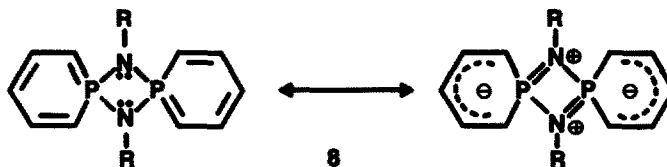
**P-N-Abstände:** 1.69 - 1.72 Å

1.67 - 1.69 Å

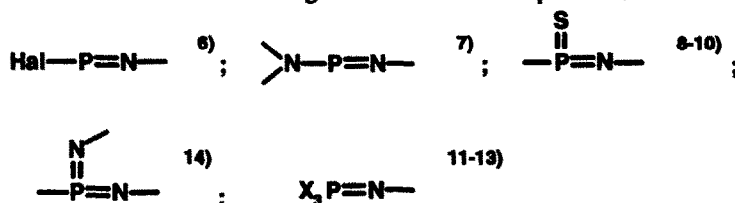
1.60 - 1.64 Å  
1.74 - 1.78 Å

Im Gegensatz hierzu sind in den Cyclodiphosphazanen mit  $\lambda^5\sigma^5$ -Phosphor **11** die PN-Abstände sehr deutlich voneinander verschieden, was darauf zurückzuführen ist, daß die PN-Bindungen von einer äquatorialen und einer axialen Bindung des trigonal bipyramidal hybridisierten Phosphors gebildet werden (X = F, R = Me <sup>11</sup>); X = Cl, R = Me <sup>12</sup>); X = F, F, C<sub>6</sub>H<sub>5</sub>, R = Me <sup>13</sup>)).

Die hier beschriebenen Systeme **8** mit  $\lambda^5\sigma^4$ -Phosphor stellen gegenüber **9** - **11** eine weitere Variation des P<sub>2</sub>N<sub>2</sub>-Vierringsystems dar. Die Bindungsverhältnisse werden sicher durch die  $\lambda^5$ -Phosphininbausteine bestimmt (hierfür spricht z.B. die Protonierung von **8d** mit CF<sub>3</sub>COOH und die damit verbundene hypsochrome Verschiebung des UV-Spektrums von  $\lambda_{\text{max}} = 395$  nm nach 350 nm), eine mesomere  $p\pi/d\pi$ -Wechselwirkung in **8** ist nicht auszuschließen:



Die Bildung von **8** durch Dimerisierung des  $\lambda^5$ -Phosphinimins bzw. des PN-Dipols **7** entspricht formal den bekannten Synthesen von **9** - **11** durch Dimerisierung von  $\lambda^3$ - bzw.  $\lambda^5$ -Phosphiniminen:



Die N-arylsubstituierten Cyclodiphosphazane **8** sind schwerlöslich, sie fallen aus der Toluol-Reaktionslösung aus; die triarylsubstituierten Vertreter **8a**, **8b** sind in allen organischen Solventien unlöslich.

**8a**, Fp = 304 - 306 °C; Ausb. 60 %; MS (70 eV), m/z = 830 (M<sup>+</sup>, 8 %); 415 (M/2<sup>+</sup>(Dipol **7**), 25 %); 324 (λ<sup>3</sup>-Phosphinin, 88 %);

**8b**, 307-310 °C; 55 %; MS 858 ( $M^+$ , 8 %), 429 ( $M/2^+$  (Dipol 7), 11 %), 324 ( $\lambda^3$ -Phosphinin, 100 %); **8c**, 209-210 °C (aus Toluol), 42 %; MS, 903 ( $M^+$ , 20 %), 902 ( $[M-H]^+$ , 33 %), 451 ( $M/2^+$ , 19 %), 324 ( $\lambda^3$ -Phosphinin, 100 %); UV ( $CHCl_3$ ),  $\lambda_{max} = 417$  nm ( $\epsilon = 15.490$ ), 326 (25.300), 196 (44.600);  $^{31}P$ -NMR,  $\delta = 17.2$  ppm;  $^1H$ -NMR ( $CDCl_3$ ), 6.92 - 7.40 ppm (Aryl-H,  $H^3$ ,  $H^5$ ), 3.43 (sept., N- $CH_2$ ), 0.89 (t,  $J(H,H) = 6.80$  Hz,  $CH_3$ ), 1.27 - 1.50 (m,  $(CH_2)_n$ );

**8d**, 294 - 296 °C; 68 %; MS, 678 ( $M^+$ , 100 %), 339 ( $M/2^+$ , 90 %), UV ( $CH_3CN$ ), 395 (9.700), 274 (15.700), 240 (24.400);  $^{31}P$ -NMR, 23.1;  $^1H$ -NMR, 5.42 (dd,  $J(P/H) = 4.50$  Hz,  $J(H^2/H^4) = 1.26$  Hz,  $H^2$ ,  $H^6$ ), 6.69 (dt,  $H^4$ ); **8e**, 310 °C; 69 %; UV, 395 (11.800), 331 (19.800), 279 (38.500);  $^{31}P$ -NMR, 22.9;  $^1H$ -NMR, 5.46 (m,  $H^2$ ,  $H^6$ ), 6.69 (dt,  $H^4$ );

**8f**, 309 - 311 °C; 48 %; UV, 396 (9.400), 279 (29.400), 242 (45.000);  $^{31}P$ -NMR, 24.4;  $^1H$ -NMR, 5.38 (m,  $H^2$ ,  $H^6$ ), 6.44 (t,  $H^4$ ), 2.19 (s,  $CH_3$ );

**8g**, 126 - 127 °C (aus  $CH_3CN$ ); 36 %; MS, 751 ( $M^+$ , 54 %), 750 (100 %), 375.4 ( $M/2^+$ , 10 %), 324 (2 %); UV ( $CH_3CN$ ), 394 (9.740), 277 (33.400), 244 (43.950);  $^{31}P$ -NMR, 30.9;  $^1H$ -NMR, 5.11 (s,  $H^2$ ,  $H^6$ ), 6.24 (s,  $H^4$ ), 3.05 (sept., N- $CH_2$ ), 0.80 (t,  $J(P,H) = 7.0$  Hz,  $CH_3$ ), 1.15 - 1.49 (m,  $(CH_2)_n$ );

**8h**, 275 °C; 46 %; MS, 526 ( $M^+$ , 80 %), 263 ( $M/2^+$ , 92 %); UV, 378 (9.700), 264 (37.000), 242 (35.900);  $^{31}P$ -NMR, 223; **8i**, 310 - 311 °C, 54 %; MS, 706 ( $M^+$ , 100 %), 353 ( $M/2^+$ , 55 %); UV, 388 (4.500), 290 (sh); 234 (20.800);  $^{31}P$ -NMR, 15.1;  $^1H$ -NMR, 5.04 (dd,  $J(P/H) = 2.03$ ), 1.77 (s,  $CH_3$ ).

#### Literatur

- 1) G. Märkl, H.-J. Beckh, M. L. Ziegler, B. Nuber, *Angew. Chem.* **1987**, *99*, 1214; *Angew. Chem. Int.Ed.* **1987**, *26*, 1134.
- 2) G. Märkl, H.-J. Beckh, K.-K. Mayer, M.L. Ziegler, T. Zahn, *Angew. Chem.* **1987**, *99*, 255; *Angew. Chem. Int.Ed.Engl.* **1987**, *26*, 236.
- 3) G. Märkl, Ch. Dörges, H. Nöth, K. Polborn, *Tetrahedron Lett.* **1990**, *30*, 6999.
- 4) G. Märkl, K. Hohenwarter, *ibid.* **1990**, *34*, 4849.
- 5) Röntgenstrukturbestimmung von **8c**,  $C_{62}H_{68}N_2P_2$ ,  $M_r = 903.1$  gelbe Prismen,  $a = 7.943$  (1),  $b = 12.395$  (1),  $c = 15.579$  (2) Å,  $\alpha = 109.72$  (1),  $\beta = 95.10$  (1)°,  $\gamma = 93.12$  (2)°,  $V = 1432.3$  (3) Å<sup>3</sup>;  $Z = 2$ , Raumgruppe =  $P\bar{1}$ ,  $d_r = 1.158$  Mg/m<sup>3</sup>,  $F(OOO) 532$ . - Datensammlung: Siemens P4, Mo  $K_{\alpha}$ -Strahlung, Einkristall:  $0.25 \times 0.24 \times 0.6$  mm<sup>3</sup>,  $2\theta = 3-48^\circ$  von  $-9 < h < 7$ ,  $-13 < k < 13$ ,  $-17 < l < 17$ , Meßgeschwindigkeit:  $2.3-60^\circ/\text{min}$ ,  $\omega$ -Scans, 9552 gemessene Reflexe, davon 4605 unabhängige und 3515 beobachtete ( $F > 3\sigma(F)$ ), - Strukturlösung: SHELXTL PLUS, Patterson,  $W^{-1} = \sigma^2(F) + 0.00005F^2$ , 314 Parameter, Nichtwasserstoffe anisotrop beschrieben, H mit Reitermodell (fixiertes  $U_i$ ) in Verfeinerung einbezogen,  $R = 0.0577$   $R_w = 0.0705$ ; alle Daten:  $R = 0.0764$ ; GOOF = 1.53, Differenzpeaks:  $0.84/-0.29$  e/Å<sup>3</sup>. - Weitere Einzelheiten zur Kristallstrukturuntersuchung können beim Fachinformationszentrum Karlsruhe, Gesellschaft für wissenschaftlich-technische Information mbH, W-7514 Eggenstein-Leopoldshafen 2, unter Angabe der Hinterlegungsnummer CSD-56677, der Autoren und des Zeitschriftenzitats angefordert werden.
- 6) K.W. Muir, J.F. Nixon, *J. Chem. Soc. Chem. Comm.* **1971**, 1405; K.W. Muir, *J. Chem. Soc. Dalton* **1975**, 259; siehe auch O.J. Scherer, P. Klusmann, *Angew. Chem.* **1969**, *81*, 743; *Angew. Chem. Int.Ed.Engl.* **1969**, *8*, 752.
- 7) E. Niecke, W. Flick, S. Pohl, *ibid.* **1976**, *88*, 305; *Angew. Chem. Int.Ed.Engl.* **1976**, *15*, 309; siehe auch O.J. Scherer, W. Gläsel, *Angew. Chem.* **1975**, *87*, 667; *Angew. Chem. Int.Ed.Engl.* **1975**, *14*, 629.
- 8) M.B. Peterson, A.J. Wagner, *J. Chem. Soc. Dalton* **1973**, 106.
- 9) E.H.M. Ibrahim, R.A. Shaw et. al., *Phosphorus* **1971**, *1*, 153.
- 10) J. Weiss, G. Hartmann, *Z. Naturforschg.* **1966**, *21b*, 891.
- 11) A. Alemennigen, B. Andersen, E.E. Astrup, *Acta Chem. Scand.* **1969**, *23*, 2179.
- 12) H. Hess, D. Forst, *Z. anorg. Chem.* **1966**, *342*, 240.
- 13) J.W. Cox, E.R. Corey, *J. Chem. Soc. Chem. Comm.* **1967**, 123.
- 14) O.J. Scherer, P. Klusmann, N. Kuhn, *Chem. Ber.* **1974**, *107*, 552.